

ТЕМПЕРАТУРНАЯ ЗАВИСИМОСТЬ НАПРЯЖЕНИЯ ЛАВИННОГО ПРОБОЯ $p-n$ -ПЕРЕХОДОВ С ГЛУБОКИМИ УРОВНЯМИ РЕЛАКСАЦИОННОЙ ЗАДЕРЖКИ ПРОБОЯ

Кюргян А. С., Шлыгин П. Н.

Проведены теоретическое и экспериментальное исследования эффекта релаксационной задержки пробоя асимметричных p^+-n -переходов с глубокими уровнями. Получены аналитические соотношения между концентрацией глубоких уровней N_t , временем задержки t_b и напряжением U_b пробоя для случая скачкообразного увеличения напряжения, учитывающие полевую зависимость скорости эмиссии a_n электронов с глубоких уровней. Указана возможность определения зависимости a_n от температуры T в слабом поле при больших N_t на основе результатов измерения t_b при произвольном монотонном увеличении напряжения смещения.

На экспериментальных зависимостях $U_b(T)$, полученных в режиме релаксационной задержки пробоя кремниевых p^+-n -переходов, легированных серой, обнаружены две аномалии при 77–120 и 150–230 К. Эти аномалии вызваны перезарядкой двух уровней серы, известных из литературы. Количественный анализ зависимостей $U_b(T)$ в области высокотемпературной аномалии, проведенный на основе полученных в работе формул с учетом эффекта Френкеля–Пула, дал экспоненциальную зависимость $a_n(T)$ с энергией активации $\epsilon_f=0.354$ эВ, прекрасно согласующейся с опубликованными данными емкостной спектроскопии.

Введение. Обычно [1] напряжение лавинного пробоя $p-n$ -переходов U_b монотонно уменьшается при охлаждении с почти постоянным температурным коэффициентом $\beta_r \approx 10^{-3}$ град⁻¹. Однако при исследовании диодов, изготовленных из Si [2–9], GaAs [10–12] и SiC [12, 13], неоднократно наблюдались аномалии измеренных в различных режимах зависимостей $U_b(T)$, заключающиеся в резком уменьшении или даже смене знака β_r . В большинстве случаев аномалии вызваны перезарядкой глубоких уровней (ГУ) в области пространственного заряда (ОПЗ) $p-n$ -переходов. Практическое применение этого эффекта (например, для идентификации примесей или точечных дефектов, часто вызывающих [6, 7] резкое снижение U_b высоковольтных $p-n$ -переходов) возможно только на основе достаточно точной количественной теории, которая должна либо учитывать полевую зависимость скорости перезарядки,¹ либо описывать режим измерения, обеспечивающий перезарядку только в слабых полях. Однако опубликованные до сих пор работы учитывали это обстоятельство неправильно [2, 14] или вовсе не учитывали [8, 15], поэтому их нельзя использовать для количественного анализа экспериментов. Решению этой задачи для режима релаксационной задержки пробоя [1–3] и проверке теории на примере кремниевых $p-n$ -переходов, легированных серой, посвящена настоящая работа.

1. Теория

Рассмотрим для определенности асимметричный p^+-n -переход, n -слой которого однородно легирован мелкими и глубокими донорами с концентрациями N_d и N_t , соответственно. Пусть ГУ расположены выше середины запрещенной зоны на расстоянии ϵ_t от дна зоны проводимости, так что $(\epsilon_g/2 - \epsilon_t) \gg$

¹ Это требование вызвано тем, что перезарядка ГУ, влияющая на зависимость $U_b(T)$ обычно происходит в полях порядка пробивных, очень сильно влияющих на скорость эмиссии носителей заряда с ГУ.

$\gg kT$. Тогда через достаточно большое время t_0 после подачи на прибор отрицательного смещения U_0 глубокие доноры в ОПЗ будут свободны от электронов и заряжены положительно, а за пределами ОПЗ — заполнены электронами и нейтральны.² Такому распределению плотности заряженных доноров ($N_d + N_t$, при $x < w_0$ и N_d при $x > w_0$, где w_0 — граница ОПЗ в n -слое) соответствует напряжение пробоя U_{b0} . При скачкообразном увеличении напряжения от U_0 до $U_1 < U_{b0}$ граница ОПЗ сдвигается на величину $(w_1 - w_0)$ (рис. 1, a) и с очутившихся в ОПЗ заполненных ГУ начнется эмиссия электронов. При этом средняя плотность объемного заряда будет увеличиваться, а напряжение пробоя будет уменьшаться от U_{b0} до $U_{b\infty}$ — величины, соответствующей плотности доноров ($N_d + N_t$) во всей ОПЗ (рис. 1, б). Если $U_1 > U_{b\infty}$, то в некоторый момент времени t_b напряжение пробоя уменьшится до величины U_1 и $p-n$ -переход немедленно пробьется, коль скоро время статистической задержки^[1] пренебрежимо мало. Это явление, впервые обнаруженное в работе^[2], называется релаксационной задержкой пробоя. Для решения сформулированной во Введении задачи необходимо найти связь между измеряемыми величинами U_0 , U_1 , U_{b0} , $U_{b\infty}$, t_b и параметрами ГУ.

Будем считать, что напряжение U_0 достаточно велико, чтобы соответствующая ему толщина ОПЗ w_0 была больше толщины слоя эффективного

Рис. 1. Распределение напряженности электрического поля в ОПЗ (a) при $t < 0$ (1), $t = 0$ (2), $t = t_b$ (3) и эпюры напряжений смещения и пробоя (б) при релаксационной задержке пробоя $p-n$ -перехода с глубокими уровнями.

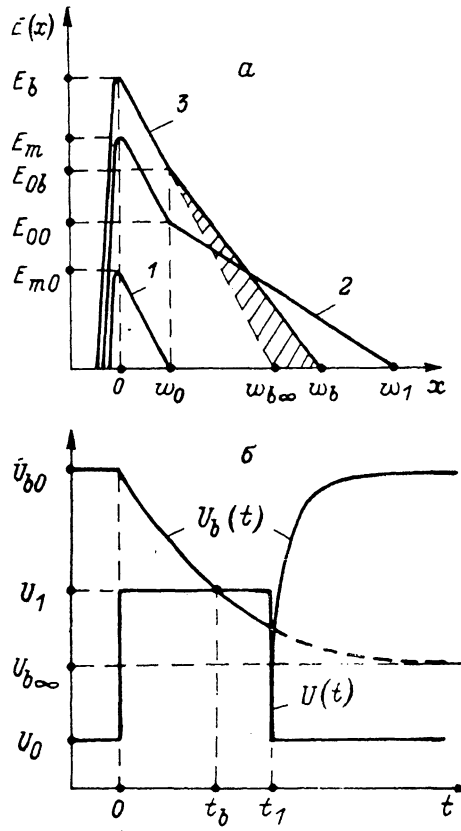
умножения w_s при пробое. Это не слишком жесткое требование [оно выполняется при $U_0 > U_{b\infty} E_b^2 / \tilde{E}^2 \simeq (0.1 - 0.01) U_{b\infty}$, где \tilde{E} — показатель экспонента ударной ионизации от напряженности поля $\alpha(E) = \tilde{\alpha} \exp(-\tilde{E}/E)$] сильно упрощает задачу, поскольку обеспечивает неизменность распределения поля $E(x)$ в области $x < w_0$ при пробое для любой степени заполнения ГУ вне этой области. Нетрудно видеть, что при этом величина $[U_1(t_b) - U_{b\infty}]$ равна площади заштрихованной области на рис. 1, a, поэтому

$$U_b \equiv U_1(t_b) = \frac{\chi}{2qN} \left[\int_0^{E_{b0}} \frac{EdE}{1 - N f_t / N} - \frac{E_{b0}^2}{2} \right] + U_{b\infty}, \quad (1)$$

где $N = N_d + N_t$, а f_t — функция заполнения ГУ в момент времени t_b , равная

$$f_t(x, t_b) = \exp \left\{ - \int_0^{t_b} a_n [E(x, t)] dt \right\}. \quad (2)$$

² В действительности граница между заряженными и нейтральными ГУ размыта на величину порядка $\sqrt{2kT_\infty/qN_d}$ и расположена не при $x = w_0$, а в плоскости $x = w_0 - \sqrt{2\varepsilon_{\text{ex}}/qN_d}$ (q — заряд электрона, ε — диэлектрическая проницаемость). Соответствующая поправка тривиально вносится в полученные далее формулы, однако она очень мала, и для упрощения изложения мы будем ею пренебрегать.



Если концентрация ГУ велика, то измеримую величину $(U_{b0} - U_{b\infty})$ можно получить даже при $(U_{b\infty} - U_0) \ll U_{b\infty}$, когда E_{0b} настолько мал, что полевой зависимостью скорости эмиссии a_n^0 можно пренебречь. Тогда f_t не зависит от координаты и равна

$$f_t = \exp(-a_n^0 t_b), \quad (3)$$

где a_n^0 — равновесное значение скорости эмиссии. Подставляя (3) в (1) и учитывая, что вследствие равенства $f_t(x, 0) = 1$

$$U_{b0} = U_{b\infty} + \frac{E_{0b}^2}{2q} \left(\frac{1}{N - N_t} - \frac{1}{N} \right), \quad (4)$$

получим простую формулу, связывающую напряжение пробоя U_b с временем релаксационной задержки t_b :

$$U_b = U_{b\infty} + (U_{b0} - U_{b\infty}) \frac{N - N_t}{N \exp(a_n^0 t_b) - N_t}. \quad (5)$$

Формулы (4), (5) верны и для диффузионного $p-n$ -перехода, если концентрация мелких акцепторов N_a при $x > w_0$ пренебрежимо мала. Однако при этом для вычисления N_t из результатов измерений необходимо знать профиль диффузии. В резко асимметричных ступенчатых $p-n$ -переходах

$$\frac{E_{0b}}{E_b} = \frac{w_{b\infty} - w_0}{w_{b\infty}} = 1 - \sqrt{\frac{U_0}{U_{b\infty}}}, \quad (6)$$

поэтому из (4) следует, что

$$N_t = N_d \frac{U_{b0} - U_{b\infty}}{(\sqrt{U_{b0}} - \sqrt{U_0})^2} = N \frac{U_{b0} - U_{b\infty}}{U_{b0} + U_0 - \sqrt{U_{b\infty} U_0}}. \quad (7)$$

Если U_0 значительно меньше $U_{b\infty}$, то максимальная напряженность поля в той части ОПЗ, где происходит перезарядка ГУ, соизмерима с E_b , и учет полевой зависимости $a_n(E)$ совершенно необходим. Однако такой режим измерений неизбежен только при малой концентрации ГУ ($N_t \ll N$), когда напряженность поля в области $w_0 < x < w_b$ слабо изменяется со временем. Поэтому в первом приближении можно пренебречь зависимостью a_n в каждой точке ОПЗ от времени, сохранив зависимость от поля, т. е. использовать для f_t формулу (3), заменив a_n^0 на $a_n(E) = a_n^0 \varphi(E)$. Дальнейшие расчеты зависят от конкретного вида функции $\varphi(E)$. Мы используем зависимость

$$\varphi(E) = \exp(E/E_f), \quad (8)$$

которая описывает эффект Френкеля—Пула при эмиссии с притягивающего центра и термополевую эмиссию с нейтрального центра. В первом случае, как известно,

$$\nu = \frac{1}{2}, \quad E_f = \frac{\pi \kappa}{qZ} \left(\frac{kT}{q} \right)^2,$$

где qZ — заряд центра, а во втором, согласно [16],

$$\nu = 2, \quad E_f = \frac{\sqrt{24m}}{q\hbar} \left(\frac{1}{kT} + \frac{\ln c_t}{\hbar\omega} \right)^{-1/2},$$

где m — эффективная масса, $\hbar\omega$ — энергия фонона, а постоянная $c_t \gg 1$ определяется константой электрон-фононного взаимодействия. Подстановка (8) в (1) дает

$$U_b = U_{b\infty} + (U_{b0} - U_{b\infty}) \Phi_\nu [\varphi(E_{0b}), a_n^0 t_b], \quad (9)$$

$$\Phi_\nu(x, y) = \frac{2}{\nu} (\ln x)^{-2/\nu} \int_1^x e^{-yz} (\ln z)^{2/\nu-1} \frac{dz}{z}. \quad (10)$$

Простые формулы для $\Phi_\nu(x, y)$ можно получить в предельных случаях. Если $x \rightarrow 1$ (т. е. полевые эффекты пренебрежимо малы), то $\Phi_\nu \approx e^{-y}$ и (9) совпадает с (5) при $N_t \ll N$. Если $xy \ll 1$, то

$$\Phi_{1/2} \simeq 1 - 4y \frac{6 + x(\ln^3 x - 3\ln^2 x + 6\ln x - 6)}{\ln^4 x},$$

$$\Phi_2 \simeq 1 - y \frac{x-1}{\ln x}.$$

Этот случай соответствует низким температурам, когда за время t_b ГУ не успевают опустошиться, поэтому $\Phi_v \rightarrow 1$ и $U_b \rightarrow U_{b0}$. При высоких температурах, когда $y \gg 1$ и за время t_b почти все ГУ опустошаются,

$$\Phi_v \simeq \frac{2}{v} \Gamma\left(\frac{2}{v}\right) (y \ln x)^{-2/v} e^{-y} \rightarrow 0$$

и $U_b \rightarrow U_{b\infty}$. Наконец, если $y \ll 1 \ll xy$, то

$$\Phi_v \simeq (-\ln c y / \ln x)^{2/v}, \quad (11)$$

где $c = 1.781$ — постоянная Эйлера.

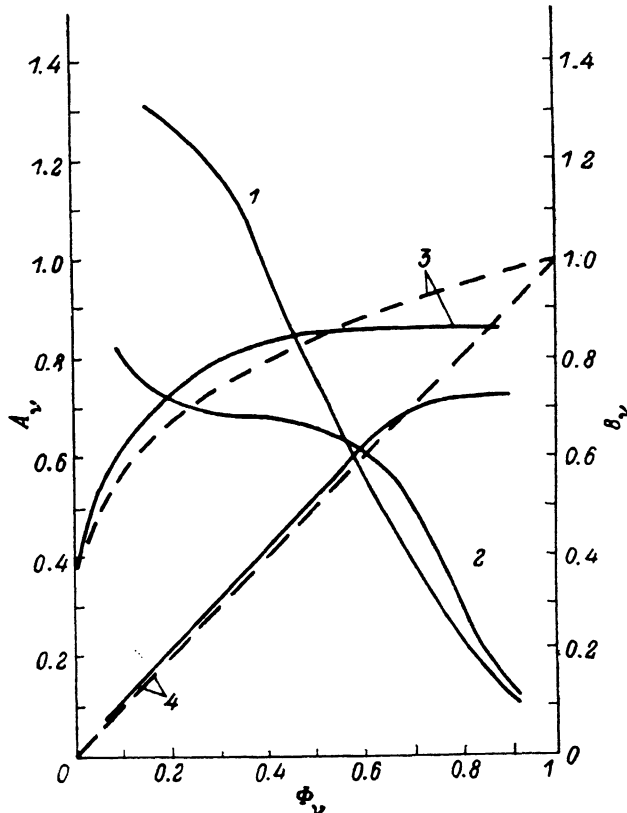


Рис. 2. Зависимости величин A_v (1, 2) и B_v (3, 4) из формулы (12) от Φ_v , вычисленных для значений $x = 10 - 10^7$ при $v = 1/2$ (1, 3) и 2 (2, 4).

Для определения параметров ГУ необходимо решить уравнение (9) относительно a_n^0 или, что то же самое, уравнение (10) относительно y . Как будет видно из дальнейшего, это удобнее всего делать при постоянных значениях Φ_v , близких к $1/2$, когда ни один из предельных случаев не реализуется. К счастью, оказалось, что степенная зависимость вида

$$y = A_v \Phi_v^{-B_v}, \quad (12)$$

следующая из (11), очень хорошо аппроксимирует результаты численного интегрирования (10) даже при $xy \leq 1$. При этом показатель степени $B_v \simeq \Phi_v^{1/2}$ в соответствии с (11), но множитель A_v не равен $1/c$, а зависит от Φ_v , как изображено на рис. 2.

Формулы (5), (7), (9), (12) полностью решают задачу о релаксационной задержке пробоя для случая строго прямоугольного импульса напряжения, который на практике трудно сформировать. Однако на самом деле требования к форме импульса не очень жесткие. Действительно, формулы (5), (7) (случай слабого поля) основаны на единственном допущении о том, что толщина ОПЗ w_1 не увеличивается со временем. Только в этом случае все ГУ, находящиеся в области $w_0 < x$ в момент пробоя, перезаряжаются одинаковое время. Поэтому, в принципе, уменьшение напряжения при $t > 0$ допустимо, но, разумеется, оно должно быть медленнее, чем уменьшение $U_b(t)$. Более того, поскольку в процессе эмиссии электронов с ГУ плотность объемного заряда увеличивается, допустим и рост напряжения при $t > 0$, который, однако, должен быть достаточно медленным, чтобы w_1 не увеличивалась. Например, если на вершине импульса напряжение возрастает линейно со временем, то в резко асимметричных $p^+ - n$ -переходах это условие будет выполнено, когда приращение напряжения за время t_b

$$\Delta U_1 \leq a_n^0 t_b \frac{(U_b - U_0)(U_b - U_{b\infty})}{(\sqrt{U_{b0}} - \sqrt{U_0})^2}.$$

Для более точной регистрации момента пробоя желательно (рис. 1, б), чтобы кривые $U_b(t)$ и $U_1(t)$ пересекались под возможно большим углом. Поэтому может оказаться удобным использовать импульс быстро нарастающего напряжения, когда это неравенство не выполняется. Для этого случая нетрудно получить частичное решение задачи, если $E_{0b} < E_m$, и можно пренебречь полевой зависимостью a_n^0 . Пусть при $t > 0$ напряжение на $p-n$ -переходе увеличивается по закону $U_b(t) = U_0 + V_0 \phi_u(t)$, а максимальное поле E_m и толщина ОПЗ w — по законам $E_m(t) = E_{m0} [1 + \phi_E(t)]$ и $w(t) = w_0 [1 + \phi_w(t)]$, где ϕ_u , ϕ_E и ϕ_w — произвольные, монотонно возрастающие функции, равные 0 при $t=0$. Нетрудно показать, что в резко асимметричном $p^+ - n$ -переходе с однозарядными ГУ они связаны дифференциальными уравнениями

$$\begin{aligned} \left(1 - \frac{N_t}{N}\right) \frac{d\psi_w}{dt} + \psi_w &= \psi_F + \frac{d\psi_E}{dt}, \\ \left(1 - \frac{N_t}{N}\right) \frac{d}{dt} (1 + \psi_w)^2 + (1 + \psi_w)^2 &= 1 + \frac{V_0}{U_0} \left(\psi_u + \frac{d\psi_u}{dt} \right), \end{aligned} \quad (13)$$

где $\tau = a_n^0 t$. Не ограничивая общности, предположим, что пробой наступает в момент времени t_b при $\psi_u = 1$. Учтем, что при пробое должно быть выполнено равенство

$$\psi_E(t_b) = \frac{E_b - E_{m0}}{E_{m0}} = \sqrt{\frac{U_{b\infty}}{U_0}} - 1. \quad (14)$$

Если, измеряя время задержки пробоя при различных температурах, зафиксировать отношения $U_0/U_{b\infty}$ и V_0/U_0 , то равенство (14) будет выполнено при одном и том же значении t_b , так как ни уравнения (13), ни начальные условия не содержат изменяющихся величин. Таким образом, можно получить экспериментально температурную зависимость скорости эмиссии в виде $a_n^0(T) = \text{const } t_b^{-1}(T)$ для любой (в частности, синусоидальной), но неизменной формы импульса, хотя величина коэффициента пропорциональности, зависящего от отношений N_t/N , V_0/U_0 и $U_0/U_{b\infty}$, останется неизвестной. Для ее вычисления необходимо решить уравнения (13), что выходит за рамки настоящей работы.

В заключение этого раздела необходимо сделать замечание методического характера. После пробоя появляются еще два механизма перезарядки ГУ, кроме термополевой эмиссии: ударная ионизация ГУ электронами, пересекающими n -слой, и их захват на ГУ [16]. Первый механизм приведет к тому, что даже при низких температурах, когда $a_n^0(E_{0b}) t_b \ll 1$, ГУ в области $x > w_0$ начнут сравнительно быстро опустошаться после пробоя, вследствие чего U_b будет уменьшаться со временем намного быстрее, чем до пробоя, вызывая лавинообразный рост тока. Другими словами, на динамической ВАХ появится участок отрицательного сопротивления, наблюдавшийся ранее в [6]. Захват электронов на ГУ приведет к тому, что к моменту появления следующего импульса

напряжения плотность объемного заряда в области $x < w_0$ будет меньше qN , а напряжение пробоя — заметно больше U_{b0} , если частота следования импульсов $f_a \geqslant a_n(E_{0b})$. Когда релаксационная задержка пробоя связана с перезарядкой самого глубокого уровня, этот эффект легко исключить, выбирая $f_a \ll t_1 \sim \sim t_b \sim a_n^{-1}$. Однако при низких температурах, когда «работает» относительно мелкий уровень, заполнения более глубокого уровня избежать практически невозможно из-за экспоненциального уменьшения a_n . Для оценки величины этого эффекта можно измерить зависимость от температуры напряжения U_b , обеспечивающего протекание постоянного тока пробоя J , примерно равного среднему току, проходящему через прибор при измерении релаксационной задержки. Наличие аномалии на кривой $U_b(T)$ при некоторой температуре T_a [4, 5, 15] будет свидетельствовать о том, что при $T \leqslant T_a$ эффект заполнения ГУ импульсами лавинного тока существенно искажает результаты измерений.

2. Эксперимент

Для экспериментальных исследований зависимости $U_b(T)$ в режиме релаксационной задержки пробоя были изготовлены образцы меза-диодов диаметром ~ 4 мм на основе кремниевых эпитаксиальных $n-p^+$ -структур с удельными со-противлениями пленки $\rho_p = 0.7 - 1.0$ и подложки $\rho_p = 0.01$ Ом·см. Для создания омического контакта в n -слой проводилась диффузия фосфора на глубину ~ 5 мкм. При этом происходила разгонка бора из подложки почти на такую же глубину, однако $p-n$ -переход оставался резко асимметричным. Легирование серой проводилось до вытравливания меза-диодов путем диффузии из локальных поверхностных источников диаметром ~ 2 мм при 1150°C в течение $t_t = 15$ мин. Так как коэффициент диффузии серы $D \approx 10^{-8} \text{ см}^2/\text{с}$ при 1150°C , величина $\sqrt{Dt_t} \approx 90$ мкм и много больше $w_b \approx 3$ мкм, поэтому ОПЗ была практически однородно легирована серой в пределах источника диффузии. Боковая поверхность меза-диодов защищалась компаундом КЛТ-30. Пробой образцов происходил в объеме при напряжениях 60—80 В.

В процессе измерений U_b на образцы подавались регулируемое постоянное смещение U_0 и почти прямоугольные импульсы напряжения с постоянной амплитудой $\Delta = U_b - U_0$, частотой следования 10 Гц и длительностью t_1 , превышающей t_b на $\sim 10 - 20\%$. Время статистической задержки не превышало 1 мкс даже при низких температурах без подсветки, вероятно, вследствие значительной величины туннельного тока. Зависимость тока пробоя от времени регистрировалась с помощью осциллографа, причем наблюдались три различные картины. В области больших T измеримой задержки пробоя не было, и сначала пробоя при $U_1 = U_{b\infty}$ свидетельствовало появление характерных импульсов микроплазменного шума [1], параметры которого не изменялись за время t_1 (область H_1 на рис. 3). С понижением T появлялась задержка пробоя, т. е. ток пробоя возникал только при $t > t_b$, как описано в [2, 3] (область A_1). Дальнейшее понижение T приводило к исчезновению задержки пробоя, который наступал только при $U_1 = U_{b\infty}$. В этой области температур микроплазменный шум отсутствовал, а ток пробоя возрастал со временем вплоть до окончания импульса напряжения (область H_2). Наконец, при еще большем охлаждении образцов наблюдалась вторая, низкотемпературная область (A_2) существования релаксационной задержки.

Образцы охлаждались от 300 до 77 К со скоростью 5—20 К/мин. При этом напряжение U_0 подавалось на ось Y двухкоординатного самописца и регулировалось таким образом, чтобы в областях A_1 и A_2 величина t_b была постоянной с точностью $\Delta t_b \approx 10 - 50\%$, а в областях H_1 и H_2 начинали появляться импульсы тока пробоя. Одновременно на ось X самописца подавалось напряжение V_t с медью-константановой термопарой, измеряющей температуру образца. Таким образом производилась полуавтоматическая запись зависимостей $U_b(V_t)$ при $\Delta = \text{const}$, которые затем пересчитывались в зависимости $U_b(T)$. Описанная процедура обеспечивала точность измерения U_{b0} и $U_{b\infty}$ порядка 0.2 %. Наименьшей неопределенности $\Delta t_b \approx 10\%$ удавалось достигнуть в середине областей A_1 и A_2 , где $U_b \approx (U_{b0} + U_{b\infty})/2$ и t_b слабее всего зависит от U_0 и Δ .

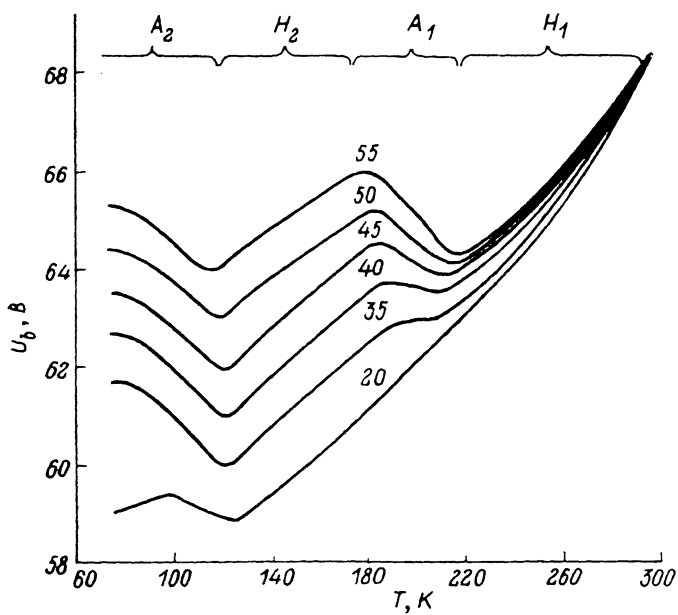


Рис. 3. Зависимости $U_b(T)$ кремниевого $p^+ - n$ -перехода с серой при времени релаксационной задержки $t_b = 12$ мкс.

Цифры у кривых — амплитуда импульса напряжения $\Delta = (U_b - U_0)$ (в В).

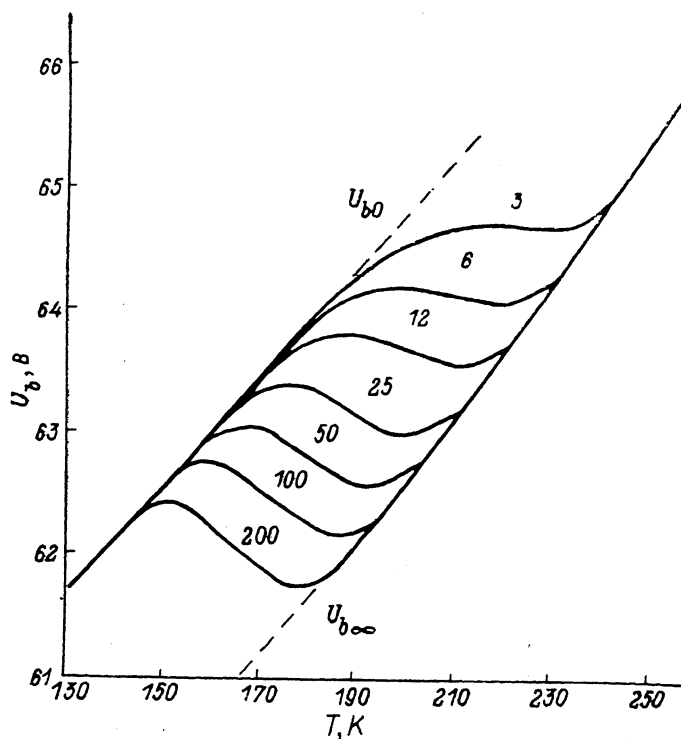
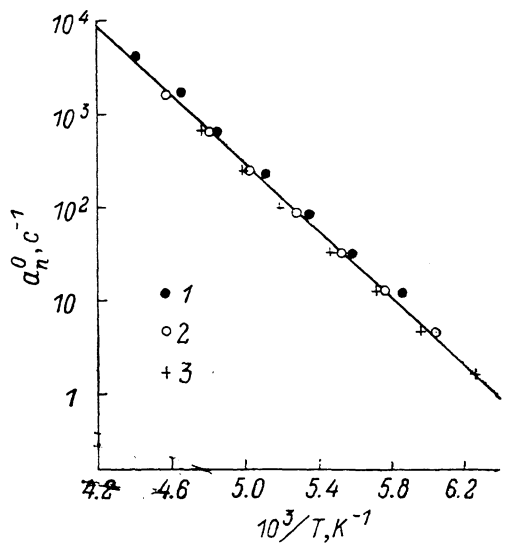


Рис. 4. Зависимости $U_b(T)$ кремниевого $p^+ - n$ -перехода с серой при $\Delta = U_b - U_0 = 40$ В.
Цифры у кривых — время релаксационной задержки t_b (в мкс).

Типичные зависимости $U_b(T)$ изображены на рис. 3, 4. Как видно, существуют две области температур с аномально низкими и даже отрицательными значениями β_T , в которых наблюдалась релаксационная задержка пробоя. Разность $(U_{b0} - U_{b\infty})$, как и следовало ожидать, увеличивается с ростом амплитуды импульса, а область аномалии сдвигается в низкие температуры при увеличении t_b . Концентрация уровня N_{t1} , вызывающая высокотемпературную аномалию, была вычислена по формуле (7) и оказалась равной $(0.85 \pm 0.15) \cdot 10^{15} \text{ см}^{-3}$ при всех Δ . Оценка концентрации более мелкого уровня дала величину, примерно в 2 раза большую. Однако измерения зависимостей $U_b(T)$ показали, что захват электронов при протекании импульсов лавинного тока (см. конец раздела 1) существенно искажает результаты в области $T \leq 130 \text{ К}$. Поэтому количественная обработка кривых $U_b(T)$ с целью определения скорости эмиссии $a_n^0(T)$ возможна только при больших температурах. Это и было проделано с использованием формул (9), (12) и рис. 2 для серии зависимостей $U_b(T)$, изображенных на рис. 4. Применимость теории обеспечивалась неравенствами $N_{t1} \ll N$ и $U_0 \geq 20 > U_{b\infty}$, $E_b^2/\tilde{E}^2 \approx 0.1 U_{b\infty} \approx 6$. В величины $N = 6.5 \cdot 10^{15} \text{ см}^{-3}$ и $E_b = 4 \cdot 10^5 \text{ В/см}$ оценивались по значению U_b (300 К); величина $\tilde{E} = 1.2 \cdot 10^6 \text{ В/см}$ для Si [1]. Ошибка определения a_n^0 , очевидно, близка к неопределенности времени

Рис. 5. Температурная зависимость равновесной скорости эмиссии a_n^0 электронов с глубокого уровня серы в кремнии, полученная на основе данных рис. 4 при значениях Φ_{t1} , равных 0.3 (1), 0.5 (2), 0.7 (3).



задержки, которая, как отмечалось выше, минимальна при $U_b \approx (U_{b0} + U_{b\infty})/2$ или, что то же самое, при $\Phi_{t1} \approx 1/2$ [см. (9)]. Поэтому мы использовали значения $\Phi_{t1} = 0.3, 0.5, 0.7$. Глубокий уровень серы в Si — двухзарядный донор. Оценки величин E_f показали, что для него основным механизмом полевого усиления эмиссии электронов является эффект Френкеля—Пула, поэтому для вычисления следует использовать значения $\nu = 1/2$ и $Z = 2$. Результаты вычислений приведены на рис. 5. Как видно, значения a_n^0 , полученные для разных Φ_{t1} , неплохо согласуются между собой. Аппроксимация всех этих данных функцией $a_n^0 = a_0 \exp(-\epsilon_{t1}/kT)$ с помощью метода наименьших квадратов дала значения $a_0 = 2.6 \cdot 10^{11} \text{ с}^{-1}$ и $\epsilon_{t1} = 0.354 \text{ эВ}$. Эта величина энергии ионизации прекрасно согласуется со значениями 0.35 [17] и 0.354 эВ [18], полученными в последние годы с помощью емкостной спектроскопии, и лишь на 5—15 мэВ меньше ранних данных эффекта Холла, фотопроводимости и ИК поглощения. Учет эффекта Френкеля—Пула при обработке эксперимента совершенно необходим. Без него у нас, как и у авторов работы [18], проводивших измерения в сильных полях, получилось значение $\epsilon_{t1} \approx 0.28 \text{ эВ}$. Вероятно, что именно пренебрежение этим эффектом привело к тому, что в ранних работах по емкостной спектроскопии уровней серы в Si (см. работу [19] и библиографию в ней) были получены слишком малые энергии ионизации $\epsilon_{t1} \approx 0.26—0.3 \text{ эВ}$.

Заключение. Изложенные выше результаты указывают на то, что анализ зависимостей $U_b(T)$ при различных временах релаксационной задержки пробоя позволяет достаточно точно определять основной параметр глубокого уровня — термическую энергию ионизации. Усовершенствование техники эксперимента, несомненно, позволит избавиться от недостатков этого метода (его можно назвать «микроплазменной спектроскопией глубоких уровней»),

связанных с заполнением ГУ импульсами тока пробоя. В принципе, его возможносты почти столь же богаты, как и у емкостной спектроскопии, от которой он отличается только тем, что скорость эмиссии определяется по изменению со временем не толщины ОПЗ, а максимального поля. Однако точность измерения U_b , ограничена принципиально неустранимой неопределенностью самой величины U_b , порядка 0.1—1 %, связанной с неоднородностью образцов и статистическим характером пробоя. Поэтому при относительно однородном распределении ГУ по площади чувствительность нового метода на многое порядков хуже, чем у емкостной спектроскопии, и, вероятно, не может быть лучше 0.01 N. Однако на практике нет нужды идентифицировать примеси и дефекты, вызывающие столь малое снижение U_b . Гораздо важнее найти причину сильного уменьшения U_b в областях очень малого размера, наиболее яркий пример которого описан в работе [6]. В этих случаях новый метод предпочтительнее емкостной спектроскопии, так как позволяет идентифицировать ГУ именно внутри микроплазм, т. е. обладает высоким пространственным разрешением.

Авторы благодарны Ю. Н. Сережкину и особенно Ю. Г. Сорокину за многочисленные стимулирующие дискуссии, В. А. Кузьмину за поддержку работы, Т. В. Макаровой и О. В. Никитиной за помощь в изготовлении образцов и В. Б. Шуман, предоставившей нам источник диффузии серы.

Список литературы

- [1] Грехов И. В., Сережкин Ю. Н. Лавинный пробой $p-n$ -переходов в полупроводниках. Л., 1980. 152 с.
- [2] Акимов П. В., Грехов И. В., Сережкин Ю. Н. // ФТП. 1970. Т. 4. В. 11. С. 2099.
- [3] Акимов П. В., Грехов И. В., Сережкин Ю. Н. // ФТП. 1975. Т. 9. В. 4. С. 764—767.
- [4] Коршунов Ф. П., Марченко И. Г. // ФТП. 1982. Т. 16. В. 4. С. 751—753.
- [5] Коршунов Ф. П., Марченко И. Г. // ФТП. 1983. Т. 17. В. 12. С. 2201—2203.
- [6] Богородский О. В. и др. // ЖТФ. 1985. Т. 55. В. 7. С. 1419—1425.
- [7] Астрова Е. В. и др. // ФТП. 1986. Т. 20. В. 11. С. 2122—2125.
- [8] Выжигин Ю. В., Грессеров Б. Н., Соболев Н. А. // ФТП. 1988. Т. 22. В. 11. С. 536—538.
- [9] Кольцова Т. Г., Кюргян А. С., Сорокин Ю. Г. // Микроэлектроника. 1988. Т. 17. В. 6. С. 511—517.
- [10] Дмитриев А. Г., Наследов Д. Н., Царенков Б. В. // ФТП. 1972. Т. 6. В. 2. С. 345—352.
- [11] Гамаев В. И., Фукс Г. М. // Изв. вузов СССР. Физика. 1982. № 2. С. 125.
- [12] Толбаков О. П., Хлудков С. С. // ФТП. 1986. Т. 20. В. 11. С. 2072—2077.
- [13] Аникин М. М. и др. // Письма ЖТФ. 1988. Т. 14. В. 6. С. 545—547.
- [14] Гамаев В. И. // Изв. вузов СССР. Физика. 1983. № 10. С. 79—95.
- [15] Кюргян А. С. // ФТП. 1987. Т. 21. В. 5. С. 941—944.
- [16] Карпус В., Перель В. И. // ЖЭТФ. 1986. Т. 91. В. 6. С. 2319—2331.
- [17] Лебедев А. А., Лебедев А. А. // ФТП. 1983. Т. 17. В. 12. С. 2152—2155.
- [18] Pensal G., Rooss G., Holm C., Wagner P. // Defects in Semiconductors. 1986. Р. 911—916.
- [19] Grimmeiss H. G., Janzen E., Skarstam B. // J. Appl. Phys. 1980. V. 51. N 8. P. 4212—4217.

Всесоюзный электротехнический
институт им. В. И. Ленина
Москва

Получена 9.01.1989
Принята к печати 27.01.1989